

06; 07

СТАБИЛИЗАЦИЯ АМПЛИТУДЫ ИЗЛУЧЕНИЯ ПОЛУПРОВОДНИКОВЫХ ЛАЗЕРНЫХ ДИОДОВ

B. Н. Королев, A. В. Маругин, A. В. Харчев, B. Б. Цареградский

Рассмотрены два способа стабилизации интенсивности излучения инжекционных лазеров: с помощью внешнего электрооптического элемента и непосредственно по цепи питания излучателя. Экспериментально реализована стабилизация амплитуды излучения серийных лазерных диодов с помощью внешнего модулятора на основе кристалла из метаниобата лияния, позволившая снизить амплитудные НЧ-флуктуации на 25—30 дБ. Показано, что такая схема стабилизации является эффективной при условии линейной поляризации излучения лазерного диода в широком диапазоне значений мощности излучения и в полосе частот до 10^5 Гц.

Эффективность практических применений полупроводниковых лазерных излучателей во многом зависит от уровня амплитудных шумов излучения. Для ряда приложений инжекционных лазеров (ИЛ) в оптической связи и метрологии особый интерес представляют характеристики излучателей в области низких радиочастот, где, как известно, амплитудный шум ИЛ имеет фликкерный характер, причем значения спектральной плотности мощности шума достаточно высоки по сравнению с другими типами лазеров [1–4]. В связи с этим возникает задача разработки способов стабилизации интенсивности излучения ИЛ. Наряду с мерами по пассивной стабилизации путем уменьшения флуктуаций тока накачки и рабочей температуры диодных излучателей целесообразно использование активных систем стабилизации интенсивности излучения. Наиболее простой способ активной стабилизации амплитуды оптического сигнала заключается в подаче сигнала обратной связи в ток питания диода, что позволяет управлять характеристиками излучения, в том числе и флуктуационными, с характерными временами 10^{-8} — 10^{-9} с. Однако управление током питания влияет не только на амплитуду излучения, но и приводит к смещению частоты излучения с результатирующим коэффициентом ~ 1 ГГц/мА.

Исследование взаимосвязи флуктуаций интенсивности и частоты излучения ИЛ показало, что коэффициент корреляции шумов этих параметров в низкочастотном диапазоне зависит от уровня накачки и колеблется в пределах 0,2—0,8 [3, 5]. Вследствие этого стабилизация одного из этих параметров излучения может приводить к увеличению уровня флуктуаций другого [5]. В связи с этим в тех задачах, где одновременно необходима стабилизация амплитуды и частоты генерации, возникает необходимость разделения цепей управления мощностью и частотой излучения. Наиболее просто это осуществить стабилизируя частоту генерации путем управления величиной тока накачки, а для стабилизации интенсивности использовать какой-либо внешний элемент, например электрооптический модулятор [6]. В данной работе исследованы два варианта системы стабилизации интенсивности излучения полупроводниковых лазерных диодов: путем управления током питания и с помощью внешнего электрооптического модулятора, а также проанализированы сильные и слабые стороны каждого из этих способов.

Рассмотрим линейную модель, описывающую систему стабилизации интенсивности излучения. Будем считать, что флуктуации мощности ИЛ можно пред-

ставить в виде суммы двух нескоррелированных процессов: «модуляционной» части, определяемой наличием шума тока накачки $n_i(t)$, и «внутреннего» шума мощности лазерного излучения $n_p(t)$. Справедливость такого подхода подтверждается данными экспериментальных исследований [7].

Остановимся сначала на случае, когда сигнал ошибки подается в цепь питания и управляет величиной тока накачки. Эквивалентная схема такой системы представлена на рис. 1. Ее можно описать с помощью замкнутой системы уравнений

$$P = p(i) + n_p, \quad e = -(aP - v_{\text{оп}}) + n_{\text{ап}}, \quad i = Ceg(v_0) + i_0 + n_i. \quad (1)$$

Здесь i и P — мгновенные значения тока ИЛ и мощности излучения; i_0 и v_0 — соответственно ток питания и напряжение на диоде в рабочей точке; C — коэффициент усиления цепи обратной связи, g — дифференциальная проводимость диода; a — коэффициент преобразования фотоприемного тракта; $v_{\text{оп}}$ — опорное напряжение усилителя в цепи обратной связи; n_p , n_i и $n_{\text{ап}}$ — источники шума (лазерный шум, шум тока питания и радиотехнический шум цепи обрат-

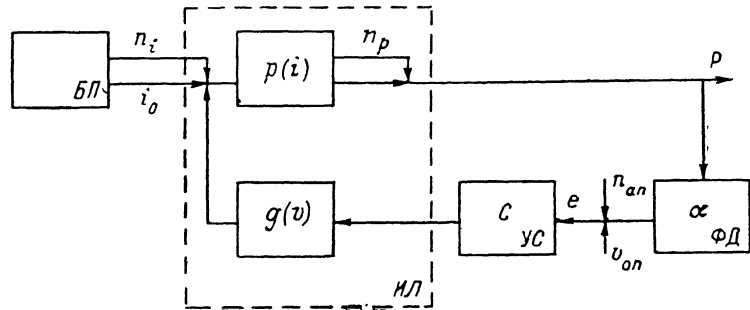


Рис. 1. Блок-схема инжекционного лазера с системой амплитудной стабилизации по цепи питания.

БП — блок питания, ИЛ — инжекционный лазер, УС — усилитель обратной связи, ФД — фотодетектор.

ной связи соответственно). Линеаризовав выходную характеристику лазера $p(i)$ в рабочей точке и приняв для простоты $v_{\text{оп}} = aP_0 = aki_0$, $g_0 = g(v_0)$, получаем для мгновенных значений флуктуаций мощности

$$\delta P = \frac{1}{1 + kCg_0\alpha} (kCg_0n_{\text{ап}} + \delta P_0). \quad (2)$$

Здесь δP_0 — флуктуации мощности излучателя в свободном режиме, т. е. при отсутствии обратной связи ($C=0$): $\delta P_0 = kn_i + n_p$.

Рассмотрим стабилизацию излучения с помощью внешнего управляющего элемента (рис. 2). Такая система описывается системой уравнений, аналогичной (1),

$$P = (p(i) + n_p)(M(v) + n_M), \quad i = i_0 + n_i, \quad v = v_0 + Ce, \\ e = -(aP - v_{\text{оп}}) + n_{\text{ап}}, \quad (3)$$

где $M(v)$ — коэффициент пропускания по мощности внешнего оптического элемента, зависящий от приложенного напряжения v , а n_M — внутренние флуктуации этого коэффициента.

После линеаризации в точке (i_0, v_0) , введя обозначения $B = (dM/dv)|_{v=v_0}$, $P_0^* = p(i_0)$, M_0 и $v_{\text{оп}} = P_0\alpha$, имеем для флуктуаций мощности излучения в системе с внешним элементом

$$\delta P^* = \frac{1}{1 + p(i_0)BC\alpha} (p(i_0)BCn_{\text{ап}} + \delta P_0^*), \quad (4)$$

где

$$\delta P_0^* = \delta P^* (C = 0) = M_0\delta P_0 + p(i_0)n_M$$

(будем обозначать звездочкой характеристики схемы с внешним управляющим элементом).

Перейдем к спектральной форме полученных выражений с помощью Фурье-преобразований. Считая все источники шума нескоррелированными и исходя из (3) и (4), получаем следующие выражения для спектральной плотности мощности флуктуаций интенсивности излучения:

$$S_p(f) = \frac{1}{(1 + \alpha C k g_0)^2} [k^2 g_0^2 C^2 S_{\text{all}}(f) + S_{p_0}(f)], \quad (5)$$

$$S_{p^*}(f) = \frac{1}{(1 + \alpha C B p(i_0))^2} [p^2(i_0) B^2 C^2 S_{\text{all}}(f) + S_{p_0^*}(f)], \quad (6)$$

где

$$\begin{aligned} S_{p_0}(f) &= k^2 S_{n_i}(f) + S_{n_p}(f), \\ S_{p_0^*}(f) &= M_0^2 S_{p_0}(f) + p^2(i_0) S_{n_M}(f). \end{aligned}$$

Нами была экспериментально получена и исследована стабилизация интенсивности излучения отечественных ИЛ по цепи питания и внешним электроопти-

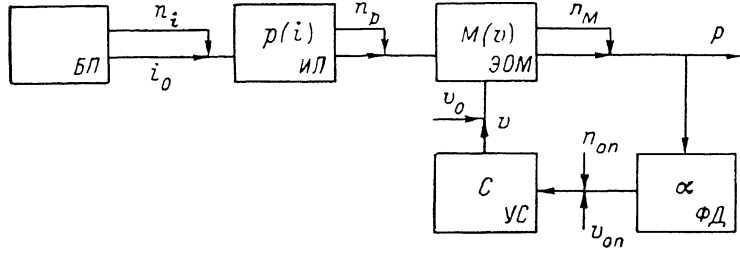


Рис. 2. Блок-схема инжекционного лазера с внешней системой стабилизации.

БП — блок питания, **ИЛ** — инжекционный лазер, **ЭОМ** — электрооптический модулятор, **УС** — усилитель обратной связи, **ФД** — фотодетектор.

ческим элементом. Особое внимание уделялось изучению эффективности стабилизации мощности излучения с помощью электрооптического модулятора, так как этот метод к настоящему моменту для полупроводниковых излучателей не применялся, а практическая реализация управления с помощью модуляторов оптическими характеристиками других типов лазеров [6] имеет существенные отличия из-за специфических особенностей ИЛ (поляризационные свойства излучения, уровень амплитудных флуктуаций, структуры оптического пучка и т. д.). Все же, как отмечалось выше, такая схема позволяет одновременное осуществление частотной стабилизации активными методами по цепи питания, что является важным достоинством для ряда практических применений излучателей.

Эксперименты проводились с полупроводниковыми лазерными диодами на основе ДГС $\text{Al}_x\text{Ga}_{1-x}\text{As}$, работающими в непрерывном режиме при комнатной температуре. Фотоприемниками служили кремниевые фотодиоды ФД-24К (чувствительность $\beta \approx 0.5 \text{ A/Bt}$, сопротивления нагрузки $R_n = 1 \text{ кОм}$). В цепи обратной связи использовался набор усилителей низкой частоты с малошумящим входным каскадом (коэффициент усиления до 130 дБ, эквивалентное входное шумовое сопротивление $R_m = 4 \text{ Ом}$). В качестве внешнего элемента с управляемым коэффициентом пропускания использовался электрооптический модулятор мощности излучения на LiNbO_3 . Следует отметить, что эффективность работы модулятора во многом определяется уровнем оптического поглощения в элементах схемы. Однако существуют определенные трудности в подборе поликристаллов, работающих в ИК диапазоне и имеющих одновременно слабое поглощение. Поэтому, учитывая, что выше порога генерации поляризация излучения ИЛ близка к линейной, в условиях нашего эксперимента оказалось целесообразным отказаться в схеме модулятора от традиционного входного поляризатора, что позволило существенно упростить установку и уменьшить оптические потери. Для использованного модулятора коэффициент пропускания

$M \sim \cos^2 [m(v - v_0)]$, где коэффициент пропорциональности $m \approx 8 \cdot 10^{-4} \text{ В}^{-1}$. Для экспериментального излучения флюктуационных характеристик излучения в диапазоне $10-10^5 \text{ Гц}$ использовалась измерительная система на основе селективного микровольтметра с предусилителем, имевшая чувствительность на уровне тепловых шумов. Все результаты приводились к единичной полосе радиочастот. Характерные значения параметров элементов использованной системы приведены ниже.

α	g_0	B	M_0	k
500 В/Вт	0.35 Ом^{-1}	$1.2 \cdot 10^{-4} \text{ В}^{-1}$	0.24	0.1 А/Вт

В общем случае параметры α и C зависят от частоты, но использованные в нашей схеме элементы позволяли считать эти коэффициенты постоянными для частот от 10 до 10^5 Гц , т. е. во всем спектральном диапазоне измерений.

Перейдем к анализу полученных соотношений. Наиболее интересным является режим стабилизации при больших значениях коэффициента обратной связи C . Критерием эффективной стабилизации для $S_p(f)$ и $S_{p^*}(f)$ могут служить условия

$$C > \frac{1}{\alpha k g_0} \quad \text{и} \quad C^* > \frac{1}{\alpha B p(i_0)} \quad (7)$$

соответственно. При подстановке значений параметров получаем для коэффициента усиления C соответственно $6 \cdot 10^{-2}$ и $3 \cdot 10^3$. Таким образом, управление интенсивностью излучения по цепи питания можно осуществить даже при незначительной величине обратной связи. В условиях приближений (7) результирующие спектры шума интенсивности излучения (5), (6) преобразуются к виду

$$S_p(f) = \frac{S_{ap}(f)}{\alpha^2} + \frac{S_{p_0}(f)}{\alpha^2 C^2 k^2 g_0^2}, \quad (8)$$

$$S_{p^*}(f) = \frac{S_{ap}(f)}{\alpha^2} + \frac{S_{p_0^*}(f)}{\alpha^2 C^2 B^2 p^2(i_0)}. \quad (9)$$

Очевидно, что с увеличением обратной связи спектральная плотность абсолютного уровня флюктуаций мощности излучения стремится в обоих случаях к пределу S_{ap}/α^2 , полностью определяемому шумовыми свойствами входных каскадов цепи обратной связи. Но, поскольку для управления электрооптическим кристаллом требуются значительно более высокие напряжения, чем в цепи питания излучателя, оптимальные коэффициенты $C^{**} = C(S_p \rightarrow S_{ap}/\alpha^2)$ в этих двух случаях отличаются почти на 5 порядков (см. (7)). Следует отметить, что в реальных системах определяющим для $S_{ap}(f)$ может стать дробовой шум тока фотодетектора со спектральной плотностью $S_{ap}^{dp}(f) = 2qP_0\alpha R_n$. Тогда для выходной мощности лазера $p(i_0) = 5 \text{ мВт}$ плотность дробовых флюктуаций будет иметь величины $S_{ap}^{dp} = 8 \cdot 10^{-16} \text{ В}^2/\text{Гц}$ и $S_{ap}^{dp*} = 2 \cdot 10^{-16} \text{ В}^2/\text{Гц}$. Тем не менее использованная система обратной связи имела при разных C приведенный по входу уровень шума в пределах $S_{ap} \approx 1-8 \cdot 10^{-17} \text{ В}^2/\text{Гц}$. Таким образом, нижним пределом уровня флюктуаций интенсивности излучения, определяющим эффективность стабилизации, становится дробовой шум фотодетектора, некоррелированный с флюктуационными характеристиками излучателя.

На рис. 3 представлены расчетные кривые (5) и (6), характеризующие спектральную плотность флюктуаций интенсивности излучения стабилизированного излучателя на частоте $f = 1 \text{ кГц}$ при выходе излучения $p(i_0) = 5 \text{ мВт}$. Значения S_{ap} , S_{p_0} и $S_{p_0^*}$ (1 кГц) взяты из экспериментальных данных, полученных на исследованных образцах. Из графиков видно, что оба способа стабилизации интенсивности излучения позволяют снизить уровень флюктуаций на 30-

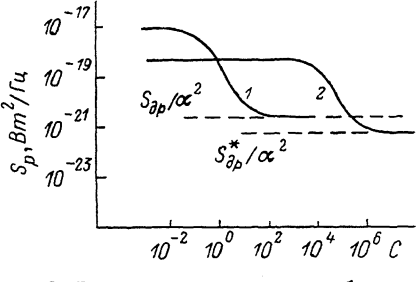


Рис. 3. Расчетная зависимость абсолютного уровня флюктуаций интенсивности излучения стабилизированного ИЛ (S) от коэффициента обратной связи (C) для случаев электрической (1) и электрооптической обратной связью.

1, 2 — электрическая и электрооптическая обратные связи соответственно.

40 дБ в зависимости от первоначального значения шума излучения $S_{p0}(f)$. Нижний предел спектральной плотности флюктуаций для токов накачки, превышающих пороговое значение (т. е. при $p(i_0) \geq 1$ мВт), определяется уровнем дробовых шумов фотодетектора в цепи обратной связи, который растет пропорционально мощности излучения P_0 . Отличие начальных уровней шума S_p и S_{p*}

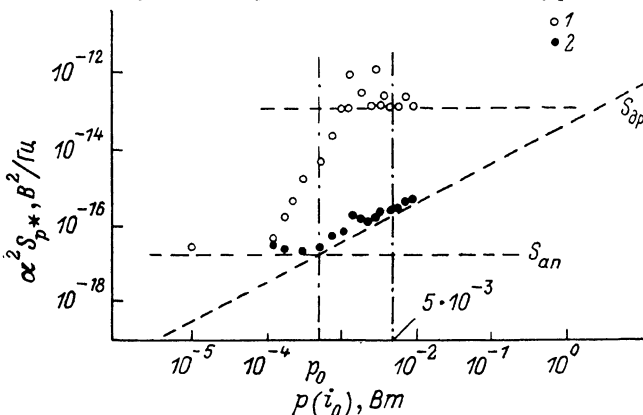


Рис. 4. Зависимость спектральной плотности мощности флюктуаций на частоте $f=1$ кГц на выходе фотодетектора от уровня выходной мощности излучателя.

1 — нестабилизированный источник излучения, 2 — стабилизированный ЭО — модулятором с коэффициентом обратной связи $C=5 \cdot 10^6$. p_0 — мощность излучения, соответствующая порогу генерации.

объясняется тем, что эти характеристики приведены к одной точке по току излучателя (т. е. по мощности $p(i_0)$), а оптические потери, а значит, и значения P_0 и P_0^* в разных схемах отличаются примерно в 4 раза. При расчете зависимостей, представленных на рис. 3, в качестве исходных данных были взяты средние значения уровня амплитудных флюктуаций, присущих исследованным ИЛ.

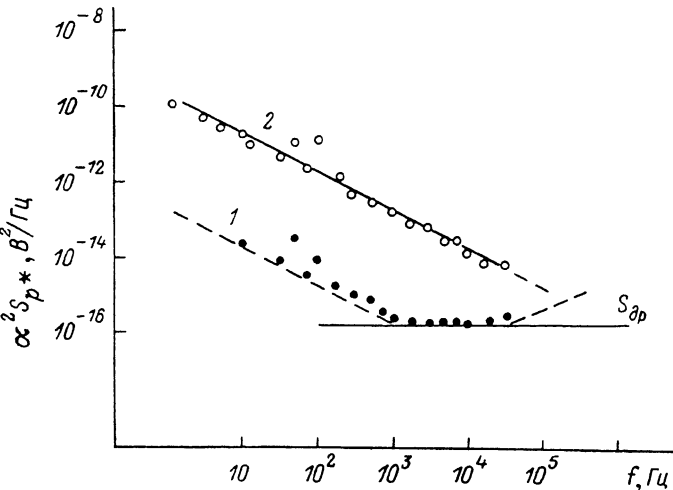


Рис. 5. Спектральная зависимость мощности флюктуаций интенсивности излучения ИЛ (сигнал на выходе фотодетектора) со стабилизацией ЭО-модулятором (1) и без нее (2).

$C=2 \cdot 10^6$, $p(i_0)=5$ мВт.

При наличии излучателей с повышенным или пониженным уровнем шума наклонный участок характеристик смещается соответственно вправо или влево по горизонтальной оси, а предельные характеристики сохраняются неизменными, поскольку определяются только постоянным уровнем мощности излучения. Зависимость спектральной плотности мощности флюктуаций на фотодетекторе $\alpha^2 S_{p*}$ (1 кГц) от режима работы излучателя показана на рис. 4. На этом рисунке экспериментальные результаты характеризуют абсолютный уровень флюктуаций сигнала на фотодетекторе в свободном режиме генерации и при ста-

билизации излучения электрооптическим модулятором с коэффициентом $C^* = 5 \cdot 10^5$. Штриховыми линиями отмечены предельные значения уровня шума (шум аппаратуры и дробовой шум фотодетектора), а также средний уровень амплитудного шума, присущий ИЛ в режиме развитой генерации. Видно, что внешняя стабилизация интенсивности излучения становится эффективной в области, примыкающей к порогу генерации ($p(i_0) \approx 0.2 - 0.5$ мВт). Такая особенность связана с достаточно резким изменением степени поляризации излучения при переходе лазера через порог. Отсутствие ярко выраженной линейной поляризации при пакачке ниже пороговой приводит к ухудшению характеристик модулятора (снижается значение крутизны характеристик пропускания) и затрудняет стабилизацию. При дальнейшем уменьшении тока питания поляризация лазерного излучения становится близкой к круговой, в результате чего управляющий сигнал на электрооптическом кристалле перестает быть скоррелированным с флюктуациями излучения ИЛ. Зависимости на рис. 4 свидетельствуют также о том, что относительно медленное нарастание дробового шума фотоприемника с ростом мощности $p(i_0)$ не ограничивает диапазон стабилизации до значений ~ 100 мВт, что является вполне достаточным, так как значительно превышает рабочий диапазон существующих в настоящее время серийных ИЛ.

Остановимся теперь более подробно на спектральных особенностях флюктуационных характеристик излучения. На рис. 5 показана спектральная зависимость мощности амплитудных флюктуаций излучения в рабочей точке $p(i_0) = 5$ мВт. В режиме свободной генерации спектр мощности флюктуаций интенсивности излучения S_{sp} имеет обычный для ИЛ фликкерный характер $S(f) \sim \sim 1/f^\gamma$, где $\gamma \approx 1$. Аналогичный вид имеет спектр шума стабилизированного излучателя в диапазоне $10 - 10^3$ Гц. В диапазоне $1 - 30$ кГц уровень шума, стабилизированного модулятором ИЛ, определяется дробовыми флюктуациями фотодетектора и практически не зависит от частоты. Таким образом, при выбранных значениях C и $p(i_0)$ в диапазоне $10 - 10^4$ Гц осуществлена стабилизация интенсивности излучения с пониженным уровнем флюктуаций на $25 - 30$ дБ. Экспериментальные точки находятся в хорошем соответствии с рассчитанной для $C^* = 2 \cdot 10^5$ зависимостью (штриховые линии). На частотах $f \geq 10^5$ Гц внешняя электрооптическая стабилизация становится неэффективной. Подъем расчетной характеристики связан с учетом уменьшения на этих частотах коэффициента пропускания фотодетектора $\alpha(f)$. Затрудняется и создание безынерционной обратной связи для сигнала управления. Основной причиной этого является радиотехническая инерционность электрооптического кристалла. Однако эти препятствия не являются принципиально неустранимыми. За счет подбора совершенных усилителей, менее инерционного кристалла и уменьшением постоянной времени фотодетектора можно значительно расширить частотный диапазон, в пределах которого использованная схема будет работоспособной.

При стабилизации излучателя по цепи питания в условиях режима работы излучателя, аналогичного приведенному на рис. 5 ($P_0 \approx 1.3$ мВт), удается снизить уровень флюктуаций излучения на величину $30 - 35$ дБ ($C = 5$) в полосе $1 - 10^3$ Гц. Дальнейшей стабилизации препятствует наличие дробового шума фотодетектора ($S_{\text{sp}}^{\text{exp}} = 2 \cdot 10^{-16}$ В 2 /Гц). Таким образом, оба метода стабилизации позволяют осуществить стабилизацию интенсивности излучения на величину до 35 дБ, практически до уровня дробовых шумов. При этом значения коэффициентов обратной связи C и C^* отличаются на $4 - 5$ порядков, однако предельные характеристики систем одинаковы. Целесообразность применения конкретного метода стабилизации определяется требованиями на другие излучательные характеристики.

В заключение сформулируем основные результаты, полученные в данной работе. На основе линейной модели рассмотрена система стабилизации амплитуды излучения ИЛ в двух вариантах: с управлением по цепи питания излучателя и с помощью внешнего модулятора. Разработана и осуществлена стабилизация интенсивности излучения ИЛ с помощью электрооптического модулятора на основе кристалла метаниобата лития. В результате эксперимента получены результаты, подтверждающие расчетные характеристики и показывающие, что примененная схема снижает уровень амплитудных шумов излучения

на 25—30 дБ, т. е. практически до предела, определенного уровнем дробовых шумов фотодетектора в цепи обратной связи. На основе сравнительного анализа разных способов стабилизации показано, что стабилизация внешними элементами является эффективной для линейной поляризации излучения и может быть с успехом использована в системах, требующих одновременной стабилизации амплитуды и частоты генерации излучателя.

Список литературы

- [1] *Tenchio G.* // Electron. Lett. 1977. Vol. 13. N 20. P. 614—615.
- [2] *Dandridge A., Tveten A. B., Miles R. O., Gialloranzi T. G.* // Appl. Phys. Lett. 1980. Vol. 37. N 6. P. 526—528.
- [3] *Dandridge A., Taylor H. F.* // IEEE Trans. Microwave Theory and Techniques. 1982. Vol. MTT-30. N 10. P. 1726—1738.
- [4] *Маругин А. В., Харчев А. В.* // Техника средств связи. Сер. РИТ. 1986. Вып. 1. С. 77—80.
- [5] *Tsuchida H., Taho T.* // Jap. J. Appl. Phys. 1983. Vol. 22. N 7. P. 1152—1156.
- [6] *Robertson N. A., Hoggan S., Mangan J., Hough J.* // Appl. Phys. 1986. Vol. B 39. N 3. P. 149—153.
- [7] *Маругин А. В., Харчев А. В.* // ЖТФ. 1987. Т. 57. Вып. 12. С. 2380—2382.

Горьковский государственный университет
им. Н. И. Лобачевского

Поступило в Редакцию

8 апреля 1988 г.

В окончательной редакции
31 августа 1988 г.
